



CentraleSupélec

Rapport Technique Sujet 1

MALO CHAUVEL/RANY FOUAD/ALEXIS
CHAPELANT/CARLOS MARTÍN DE ARGILA
LORENTE/MATTHIAS ORBACH



CentraleSupélec

SÉQUENCE THÉMATIQUE - ENSEIGNEMENT
D'INTÉGRATION
ROBOTIQUE MÉDICALE
SUJET 1 - ÉTUDE DES EFFORTS D'INTERACTION AU
CONTACT DU PATIENT OU DU CHIRURGIEN

23/01/2023 - 27/01/2023

Résumé

Dans ce rapport technique, nous allons décrire la méthodologie que nous avons appliquée lors de la création de cette simulation. Pour ce faire, nous avons, après une montée en puissance de nos compétences lors de la première journée, implémenté le modèle de la simulation sur Simulink lors de la deuxième journée. Cela, nous a amené à exploiter les résultats et résoudre les erreurs dans le code de la simulation au cours de la troisième journée.

Table des matières

1	Contexte	4
2	Démarche adoptée pour résoudre le problème posé	5
3	Hypothèses (de modélisation, ...)	6
4	Description du modèle	7
5	Description de simulations	9
6	Analyse de résultats	12
7	Conclusion (lien éventuel avec autres équipes)	14
8	Annexe	15

1 Contexte

La robotique médicale est née de la fusion de domaines qui aux premiers abords peuvent sembler bien éloigné. En effet, la médecine est née de la volonté de soigner l'homme. Longtemps impuissante face aux maladies comme les épidémies, la médecine se développe au XIXe siècle avec les débuts de l'épidémiologie. Des avancées médicamenteuses, technologiques et biologiques permettent une forte diminution des maladies et une augmentation globale du niveau de vie. Toutefois, la médecine garde de nombreuses voies de développement, et pour cela cherche des solutions dans d'autres sciences.

La robotique quant à elle, voit le jour avec l'apparition des premiers automates au XIXe siècle. Elle grandit avec l'apparition de plus en plus importante de capteurs de mesure, ce qui permet aux automates d'interagir avec le monde. Une autre science vient booster l'essor de la robotique : l'informatique. En effet, celle-ci permet une plus grande liberté d'action aux robots. Aujourd'hui, la robotique est partout et c'est ainsi qu'on la retrouve également dans le monde médical. La robotique médicale touche de nombreux domaines, de la chirurgie mini-invasive à la téléopération, en passant par les exosquelettes. On peut faire une distinction en trois types de robots médicaux : les robots médicaux d'assistance aux docteurs, les robots médicaux d'assistance aux patients et les robots médicaux d'assistance aux praticiens pour la réhabilitation.

Ce sujet est inscrit dans le domaine de la robotique mini-invasive. On cherche à ajouter au modèle pré-existant de simulation sur Matlab et Simulink, un module permettant la modélisation des efforts d'interaction entre le robot et son environnement que se soit avec le patient mais également avec le personnel médicale environnant.

2 Démarche adoptée pour résoudre le problème posé

Pour répondre à ce sujet, nous avons du adopté une démarche par phase, tirée de projets précédents comme les *coding week*, l'utilisation d'une démarche MVP (*Minimum Viable Product*) qui permet une amélioration continue du modèle, avec des étapes intermédiaires fonctionnelles.

La première phase, qui nous a demandée une journée à été de comprendre et d'appréhender l'ensemble des documents. Cela, nous a permis d'avoir une montée en compétence que ce soit dans la démarche d'ingénieur en robotique médicale, mais également dans les notations utilisées. En effet, l'utilisation de la convention "Denavit-Hartenberg modifiée" permet non seulement une description de la position relative de deux solides avec seulement quatre paramètres (au lieu de six), mais également l'utilisation d'une méthode numérique par récurrence. On utilise principalement cette convention dans le cas de la modélisation d'une chaîne ouverte avec uniquement des liaisons pivots et glissières, ce qui est le cas dans notre modélisation de robot. La phase un, s'est soldée par l'écriture de la jacobienne utile pour les calculs de simulation. La phase deux, nous a permis d'établir une implémentation d'un code de simulation, prenant en compte l'interaction avec le patient. On utilise avec le modèle de Voigt (cf. section 4), qui nous permet de modéliser les tissus mous comme la peau, les muscles ou les organes. Cette modélisation, c'est s'appuyer sur un travail bibliographique pour déterminer le modèle mais également les coefficients en fonction du type de tissus. Le livre de référence trouvé est alors *Physics of Human Body* écrit par Irving P. Herman. Nous nous sommes principalement intéressés à la partie "Mechanical Properties of the Body".

La phase trois se résume à l'interprétation des résultats alors obtenus par la simulation, ainsi qu'à la correction des problèmes décelés. L'objectif de cette phase étant de constituer les divers livrables demandés, on valide la simulation pour l'intégrer aux livrables, et l'on rédige le rapport technique et le support visuel de la présentation.

3 Hypothèses (de modélisation, ...)

La modélisation se sépare en deux. D'un côté, on doit modéliser le robot, de l'autre on doit modéliser le patient. Pour obtenir ces modélisations nous avons du faire des hypothèses de modélisation. Ainsi, nous allons ici les expliquer, et montrer en quoi elles sont justifiées.

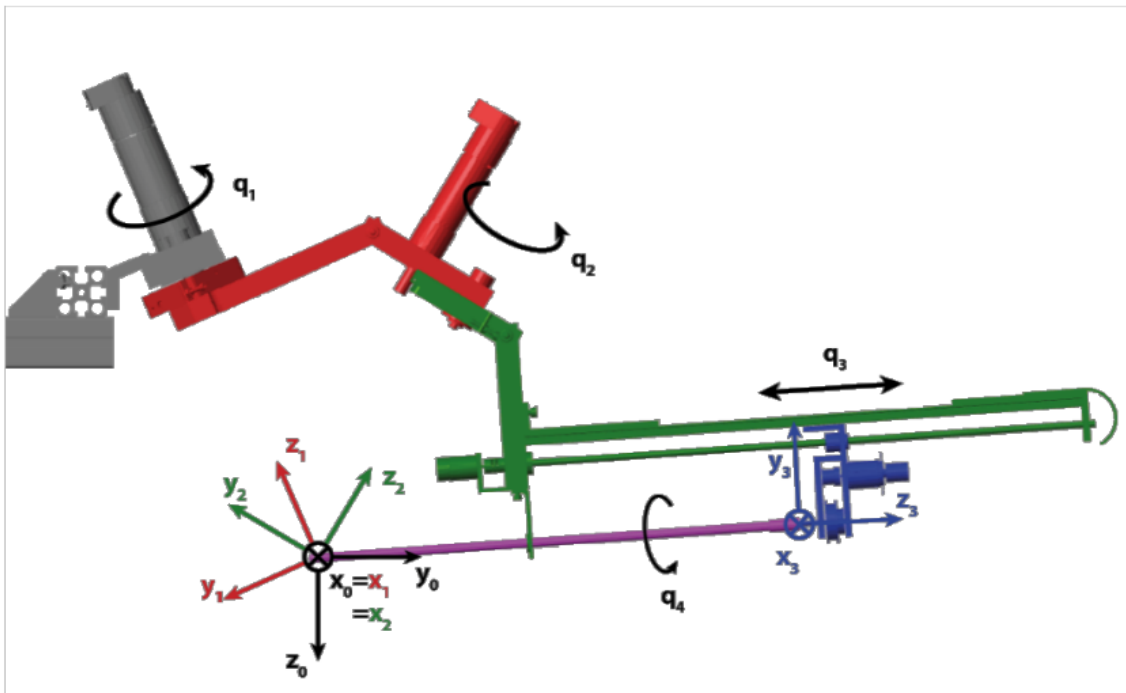


FIGURE 2 – Schéma de modélisation du robot

Pour la modélisation du robot, nous supposons que les moments ne sont pas transmis, en effet la prise en compte de moments localisés impliquerait une trop grande complexité de modélisation. Ainsi, l'étude s'intéresse uniquement à la prise en compte des contacts ponctuels avec le patient. Cela, nous induit la seconde hypothèse, lorsque l'on cherche à modéliser les contacts avec le patient. La rotation de l'axe 4 n'impliquant pas de forces de contact ponctuel mais uniquement des moments localisés, on peut supposer que cet axe est immobile (cf. Figure 2). La mise sous forme linéaire des efforts généralisés implique que tous les paramètres ne peuvent pas être identifiables indépendamment. On écrit alors les efforts généralisés sous la forme d'un problème des moindres carrés. Ainsi, on doit supposer connus les paramètres géométriques.

De l'autre part, le patient peut être modélisé par une couche de peau, suivie d'une couche de muscles et d'os. La peau et les muscles présentent des propriétés qui appartiennent à deux catégories de matériaux à la fois : la viscosité et l'élasticité. La viscosité traduit la capacité d'un matériau à dissiper l'énergie, à l'inverse de

l'élasticité, qui traduit la capacité d'un matériau à restituer de l'énergie, autrement dit l'élasticité traduit le retour à l'état initial d'un matériau après déformation. On retrouve ces deux aspects dans les tissus humains, elles reprennent bien la quasi totalité de leurs formes, mais subissent en même temps une légère déformation. Pour simplifier, la modélisation des chocs avec le corps médical prendra seulement en compte les chocs sur la partie 4 du robot, c'est-à-dire la tige du robot.

4 Description du modèle

Les hypothèses établit, nous pouvons maintenant écrire les équations de modélisation du mouvement. On obtient, en prenant en compte les hypothèses, les équations suivantes en appliquant la mécanique lagrangienne :

Soit le lagrangien L :

$$L = E - U \quad (1)$$

Avec E l'énergie cinétique et U l'énergie potentielle du système. Les équations du mouvement sont alors :

$$\Gamma_i = \frac{d}{dt} \left(\frac{\partial L}{\partial \dot{q}_i} \right) - \frac{\partial L}{\partial q_i} \quad (2)$$

Avec Γ_i la somme des forces généralisées non conservatives s'appliquant sur l'axe i . Avec un robot réel, on peut écrire les efforts généralisés :

$$\vec{\Gamma} = \vec{\tau} - \vec{\tau}_f + \vec{\tau}_{ext} \quad (3)$$

Avec :

- $\vec{\tau}$ l'effort moteur au niveau articulaire
- $\vec{\tau}_f$ l'effort résistant dû aux frottements
- $\vec{\tau}_{ext}$ l'effort articulaire dû à un contact extérieur

Pour prendre en compte les efforts extérieurs, on établit l'équation suivante :

$$\vec{\tau}_{ext} = J(q)^T \vec{F}_{ext} \quad (4)$$

Avec $J(q)$ la matrice jacobienne du robot, et \vec{F}_{ext} la force extérieur au point d'application. Après avoir écrit les matrices de transformation, on établit le Jacobien avec Matlab (cf. code 8)

Nous avons modélisé le patient comme une succession de couches de différentes natures dont nous pouvons faire varier l'épaisseur (on peut ainsi envisager une épaisseur de 0 cm pour l'os si nous souhaitons percer une zone sans os).



FIGURE 3 – Sch ma de mod lisation du robot

Il faut ensuite mod liser le comportement de chaque couche afin de conna tre les forces appliqu es par l'organe sur l'aiguille. Nous avons adopt  le mod le de Kelvin-Voigt en consid rant chaque couche comme l'association d'un ressort et d'un amortisseur. (Les constantes de ressort et coefficients d'amortissement des diff rentes couches sont sp cifi s sur le sch ma ci-dessus)

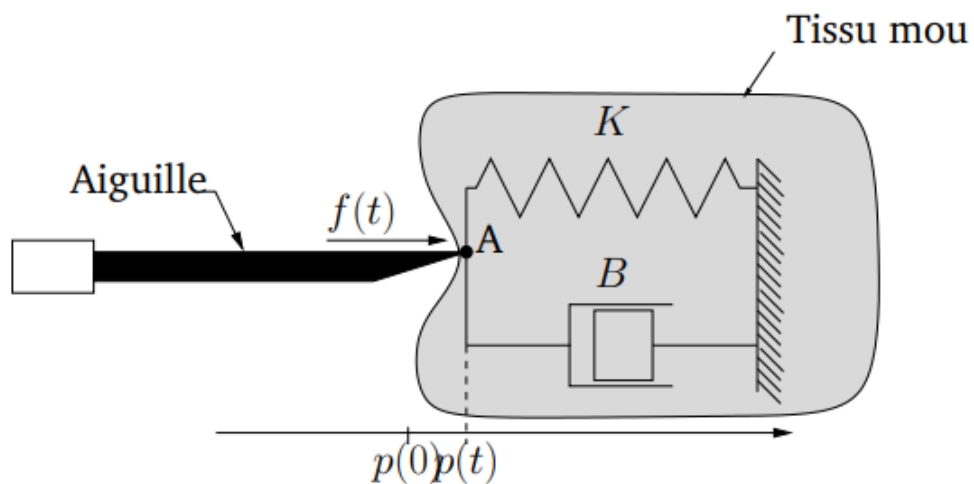


FIGURE 4 – Mod le de Kelvin-Voigt

Sous ces hypothèses, on a une équation de la forme suivante :

$$\vec{F}_{ext} = -k\vec{x} - \alpha\dot{\vec{x}} \quad (5)$$

Le vecteur x est obtenu directement à partir de la dernière colonne de la Jacobienne (on prendra soin cependant de changer la coordonnée y afin d'avoir la profondeur de la couche que l'on traverse et non pas la distance à l'origine).

Le vecteur vitesse est quand à lui obtenu à partir de la Jacobienne et de la vitesse articulaire selon la formule suivante :

$$\dot{\vec{x}} = J(q)\dot{\vec{q}} \quad (6)$$

Une fois cette phase théorique passée, nous pouvons implémenter ce modèle sur Simulink.

5 Description de simulations

Pour réaliser la simulation nous avons utilisé la plateforme de modélisation de système Simulink. Pour cela, on a utilisé le fichier "ulb-simu-lagrange-BF-eleves-fr.slx" comme base et on a ajouté des blocs supplémentaires. Dans un premier temps nous avons codé un LiveScript pour trouver les matrices O_0O_n (qui est la position en coordonnées cartésiennes) et la *Jacobienne* en fonction de q_1, q_2, q_3 et q_4 . Pour cela, on a réalisé le code décrit dans [8].

On va maintenant expliquer notre modélisation. Pour faciliter la compréhension, on a simplifié le modèle Simulink en le divisant en blocs distincts (et en enlevant quelques-uns).

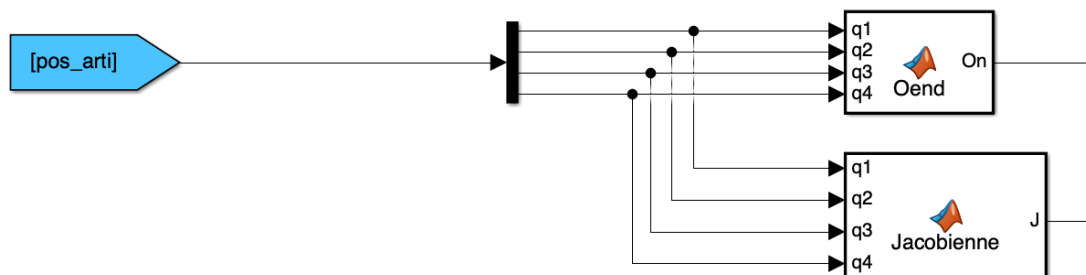


FIGURE 5 – Schéma bloc d'obtention de O_n et de la Jacobienne

Nous avons recopié les matrices O_0O_n [8] et de la *Jacobienne* [8] obtenues avec le LiveScript pour réaliser nos calculs. L'entrée de ces fonctions est le vecteur q et la sortie sont les matrices.

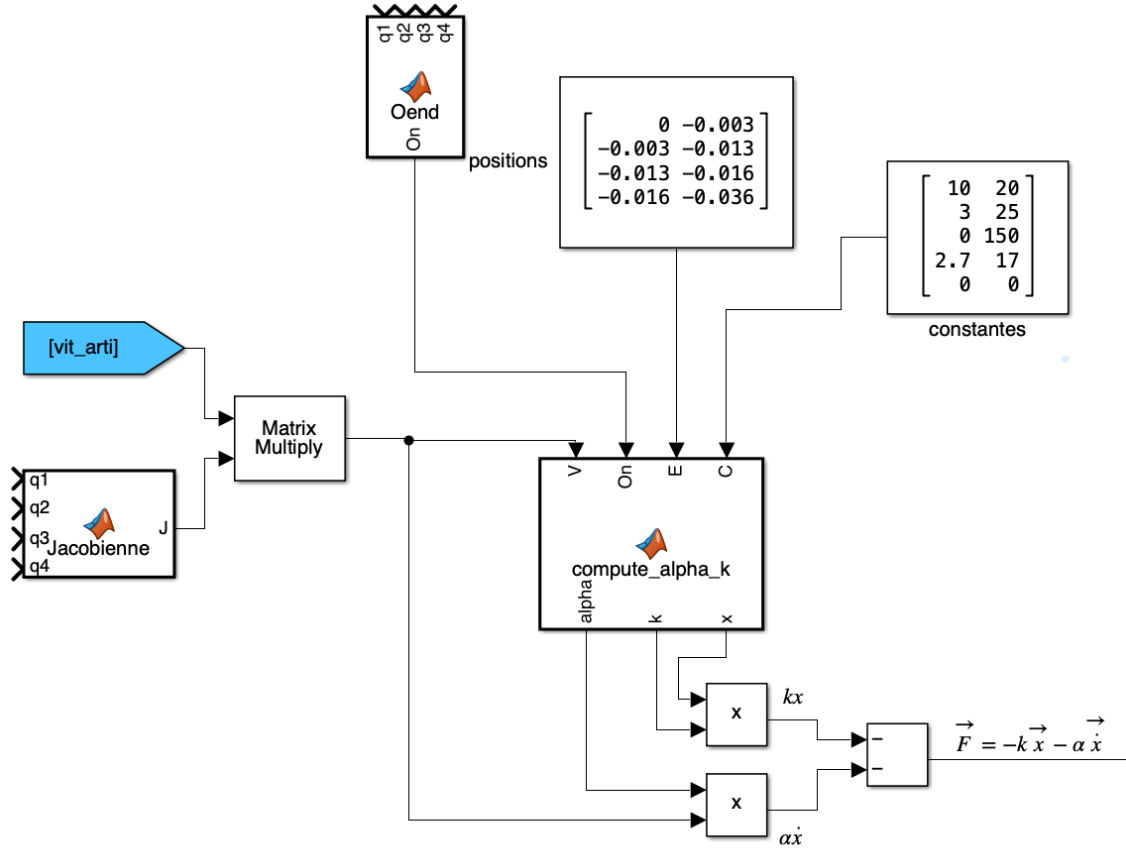


FIGURE 6 – Sch ma bloc d'obtention des efforts ext rieurs en cart sien

La deuxi me partie de notre simulation consiste   calculer la force F en utilisant la formule suivante :

$$\vec{F} = -k\vec{x} - \alpha\dot{\vec{x}} \quad (7)$$

Dans cette partie, on utilise la matrice *Jacobienne* et O_0O_n , ainsi que les matrices *position* et *constantes*. La matrice *position* indique les positions occup es par chaque partie du corps du patient (dans l'axe y), tandis que la matrice *constantes* contient les coefficients k et α de chaque couche. Pour mieux comprendre l'utilisation de ces deux matrices, on a repr sent  les valeurs utilis es dans Simulink   l'aide du sch ma [4].

La premi re colonne de la matrice *positions* indique la coordonn e y o  d bute chaque couche et la deuxi me colonne indique la coordonn e o  se termine la couche. On a fait ce choix plut t que d'utiliser un vecteur avec les coordonn es de d but car il peut y avoir des parties du corps qui n'ont pas une de couche (pas d'os par exemple). Dans ce cas, on pourrait mettre la position de d but et de fin avec la m me valeur et le mod le fonctionnerait quand m me. Pour la matrice *constantes*, la premi re colonne indique la constante α et la deuxi me colonne indique la constante k .   la

sortie de la fonction $compute_alpha_k$ (voir annexe [8] pour voir le code), on avons k , α et x . La sortie x peut sembler triviale, mais nous a pris en compte ce qui est représenté dans le schéma. La valeur x ne prend en compte que la distance dans la couche, pas la distance totale depuis le repère. Finalement, on multiplie et soustrait pour obtenir \vec{F} .

Avec \vec{F} on peut calculer $\tau_{ext} = J(q)^T F_{ext}$ avec les bloques suivants :

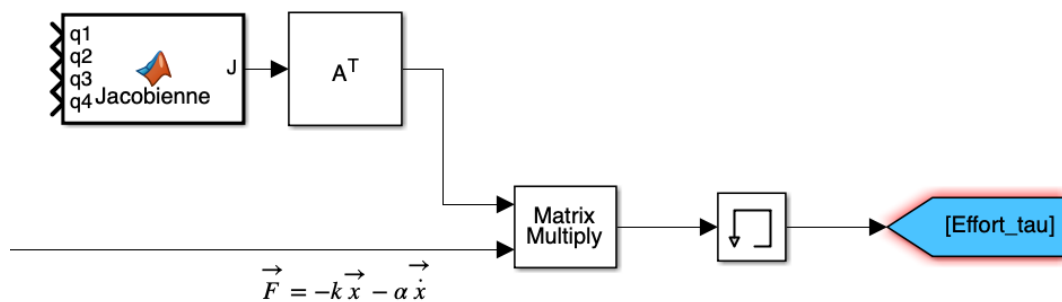


FIGURE 7 – Schéma de modélisation du robot

Pour modéliser un impact du robot avec l'effecteur, on a choisi d'utiliser une impulsion rectangulaire de 30N (voir annexe [8] qui représente l'impact. Ensuite, on multiplie cette impulsion par une version modifiée de la jacobienne (voir annexe [8]) en remplaçant $q3 + l4$ par $q3 + l4 - yop$, où yop représente la distance de l'impact par rapport à l'effecteur. Cela nous permet d'obtenir l'effort extérieur τ_{ext_op} .

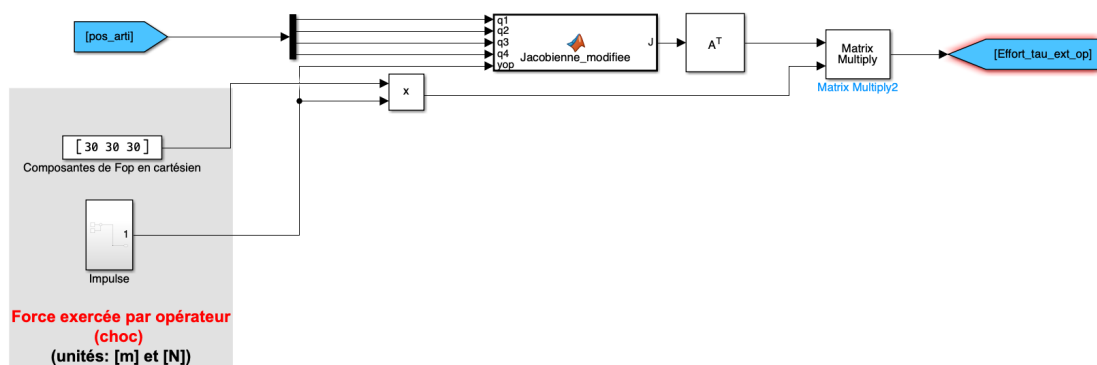


FIGURE 8 – Schéma bloc d'obtention des efforts τ

6 Analyse de r sultats

Nous avons utilis  diff rents visualiseurs (scopes) pour observer les r sultats sous forme de graphes. Dans un premier temps, la simulation sans bouclage des efforts ext rieurs est coh rente. En effet les efforts augmentent puis d crochent avant de r augmenter de la m me mani re trois fois de suite, avec des amplitudes et vitesses diff rentes. Cela correspond   la perforation des diff rents organes,   commencer par la peau,  lastique et peu  paisse qui donne donc une augmentation relativement l g re. Vient ensuite le muscle, au comportement similaire mais plus  pais, puis l'os. Tr s r sistant, l'os est mod lis  par une tr s grande constante de raideur mais sur une faible dur e : une fois cass  il ne r siste plus, ce qui est mod lis  par une fine couche d'os. Vient enfin l'organe, mou mais plus  pais. Le dernier d crochage est quand   lui li    la consigne : en effet cette simulation est r alis e pour une consigne sinuso dale en position qui explique l'augmentation plus progressive de la contrainte vers la fin de la perforation et l'annulation de celle-ci, correspondant au moment   partir duquel l'aiguille commence   reculer. On notera que les efforts sont toujours nuls lorsque la vitesse est positive dans le r f rentiel articulaire : lorsque la pointe repart en sens inverse, le robot ne subit pas d'effort ext rieur particulier suppl mentaire.

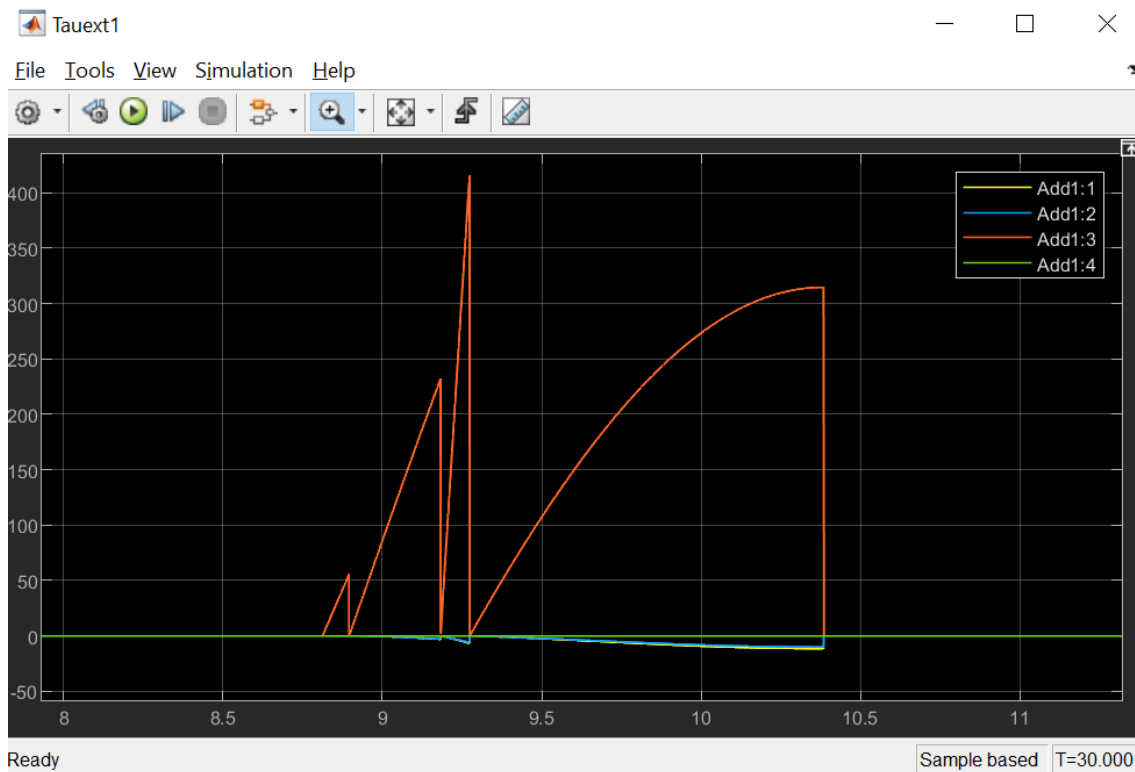


FIGURE 9 – Graphe des efforts ext rieurs au parcours du corps

Dans un second temps, le bouclage est effectu . Plusieurs observations sont   analyser. On remarque que la machine sature et que le mod le est incoh rent. Cela s'explique par notre analyse plut t r aliste quant   la physique de la perforation du corps qui peut n cessiter des efforts assez importants, notamment pour percer les os tr s durs. Deux possibilit s s'offrent   nous :

- Consid rer que les efforts n cessaires sont plus importants que ceux annonc s et augmenter la limitation des couples moteurs, ce qui n cessite de revoir le mod le pour tous les autres groupes
- Diminuer artificiellement l'influence des efforts ext rieurs avec un gain faible ($\ast 0.01$) pour ne pas contraindre les moteurs

Nous avons choisi cette derni re option pour ne pas contraindre d'autres groupes   changer leur mod le et privil gier le mod le fourni, m me si selon nous celui-ci pourrait  tre consid r  par des aspects physiques. Apr s cette correction, le r sultat donn  par le mod le r pond tout   fait   la consigne, avec une bonne r activit , notamment concernant les efforts ext rieurs dus   un choc avec l'op rateur par exemple.

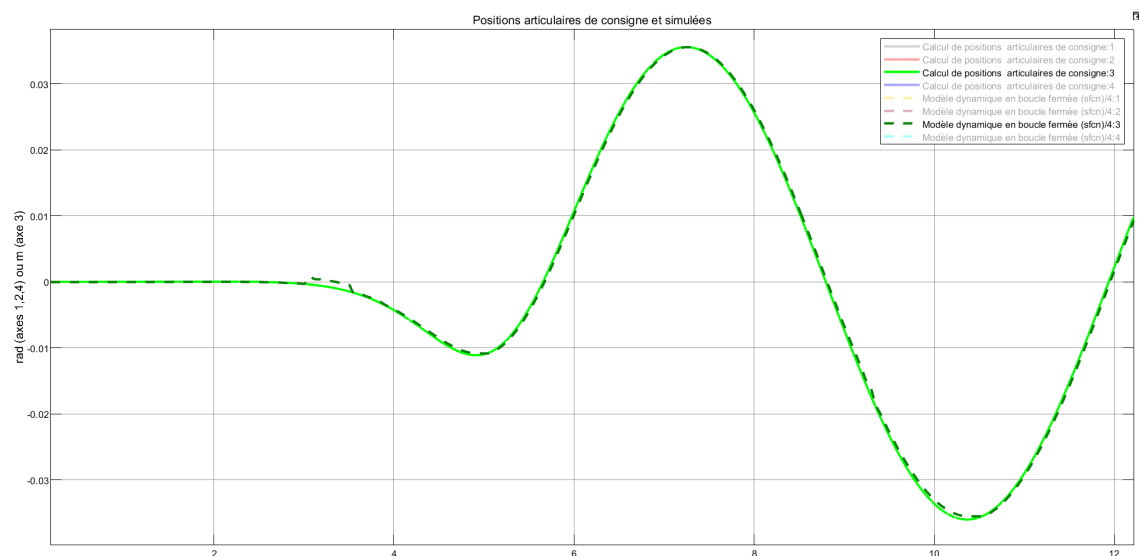


FIGURE 10 – Graphe de la position articulaire de r ponse (pointill )   la consigne (continue) avec r ponse   un choc op rateur (entre 3 et 3,5s)

Ci-dessous un exemple de simulation, avec une collision op rateur entre 9,5 et 10 secondes d'une intensit  de 30N sur chaque composante. On observe que le bouclage effectu  permet de compenser les efforts de collision.

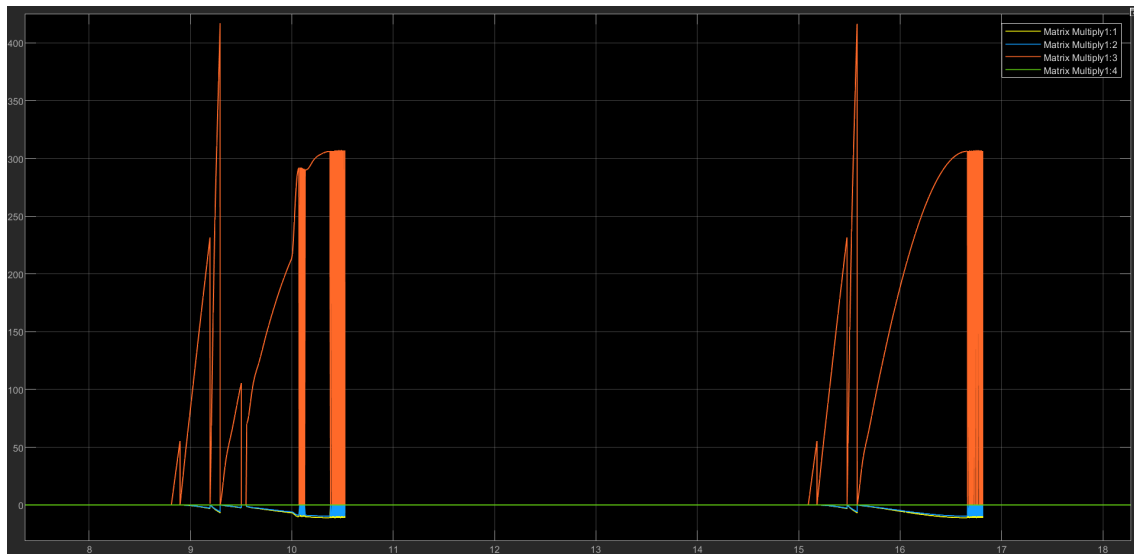


FIGURE 11 – Graphe des efforts extérieurs au parcours du corps en bouclage fermé, avec collision opérateur entre 9,5 et 10s

7 Conclusion (lien éventuel avec autres équipes)

Ce travail sur la chirurgie mini-invasive nous a permis d'approfondir nos connaissances dans le domaine. De plus, la décomposition en différent sujet permet au mieux de comprendre le monde de l'entreprise, en simulant le travail d'un service R&D. Notre démarche a tout d'abord été de modéliser les efforts d'interaction du robot avec les différentes parties du corps. Pour cela nous avons réalisé une modélisation dynamique du corps en introduisant différents paramètres physiques. Nous avons aussi modélisé les collisions avec l'environnement à partir d'une force extérieure donnée. Le module de simulation permet d'étudier l'influence des paramètres sur les efforts d'interaction visibles au niveau articulaire. Ce travail permet le développement du robot en relation avec les autres études réalisées par les autres groupes. En effet la modélisation de la collision donne l'idée de générer un discriminant entre les efforts extérieurs fournis et les efforts extérieurs théoriques obtenus par simulation. La différence engendrée laisse mettre en place des mesures de protection en cas de choc, comme l'arrêt du robot, selon des critères définis en amont. On pourra par exemple mettre une valeur seuil de différence pour prendre en compte les incertitudes de calcul mais aussi la perforation d'un tissu au lieu d'un autre qui aurait donc des constantes physiques différentes. Une autre possibilité serait la détection de discontinuités indiquant l'apparition d'un tissu imprévu - un petit organe dans le parcours de la chair par exemple - ou d'une collision opérateur. Il est alors possible, grâce au module de capteur développé par le groupe S2, de totalement déterminer les interactions du robot avec son environnement. Le dimensionnement du robot, travail réalisé par le groupe S5, permet de répondre aux problématiques moteurs

de la mise en place du syst me. Enfin ce travail s'impl mente dans le mod le dynamique du robot du groupe S3 en ajoutant des contraintes r alistes et n cessaires   l'utilisation du robot dans sa fonction d'agir sur le corps du patient.

8 Annexe

Code Live Script pour calculer la jacobienne et Oend :

```

1 syms q1 q2 q3 q4
2
3 q = [q1 q2 q3 q4];
4 l4=0.4357;
5 m = [156*pi/180 0 q1 0; 55*pi/180 0 q2 0; 55*pi/180 0 0
      q3+l4; 0 0 q4 -l4];
6
7 [Jv,Jw, Oend]=Jacobienne(4,m, q);
8
9 J = [Jv; Jw]
10 vpa(J)
11
12 Oend
13 vpa(Oend)
14
15
16 Jv = subs(Jv, [q1,q2,q3,q4],[0,0,0.4357,0]);
17 Jw = subs(Jw, [q1,q2,q3,q4],[0,0,0.4357,0]);
18
19
20 Jw = vpa(Jw);
21 Jv = vpa(Jv);
22
23
24 Jt = transpose(J)
25
26
27
28 function output = T(j,m)
29     theta = m(j,3);
30     alpha = m(j,1);
31     d = m(j,2);
32     r = m(j,4);
33     output = [

```

```

34     cos(theta) -sin(theta) 0 d;
35     cos(alpha)*sin(theta) cos(alpha)*cos(theta) -sin(
        alpha) -r*sin(alpha);
36     sin(alpha)*sin(theta) sin(alpha)*cos(theta) cos(
        alpha) r*cos(alpha);
37     0 0 0 1];
38     end
39
40
41 function [Oend,output, zn]= Tf(n,m)
42     output = T(1,m);
43     zn = [output(1:length(m)-1,length(m)-1)];
44     for i = 2:n
45         output = output * T(i,m);
46         zn = [zn output(1:length(m)-1,length(m)-1)];
47     end
48     Oend = output(1:length(m)-1,length(m));
49 end
50
51 function [Jv, Jw, Oend] = Jacobienne(n,m, q)
52     [Oend,resultTf, zn]=Tf(n,m);
53     Jv = jacobian(Oend,q);
54     Jw = zn;
55     Jw = [Jw(:,1), Jw(:,2), 0*Jw(:,3), Jw(:,4)];
56 end

```

Code pour Simulink pour calculer Oend :

```

1 function On = Oend(q1,q2,q3,q4)
2     On = [0.81915204428899178968448838591684*(q3 +
        0.4357)*(cos(q1)*sin(q2) +
        0.57357643635104609610803191282616*cos(q2)*sin(q1)
        ) - 0.35690454569671372276553158974397*cos(q1)*sin
        (q2) - 0.20471203743821014146618770606519*cos(q2)*
        sin(q1) - 0.20471203743821014146618770606519*sin(
        q1) + 0.46984631039295419202705463866237*sin(q1)*(
        q3 + 0.4357); 0.57357643635104609610803191282616*(
        q3 + 0.4357)*(0.74833262917885908178906841810814*
        cos(q1) - 0.23329455426880487170743648171) -
        0.11891315411672685607611133756987*cos(q2) -
        0.18701375192643893152562200040437*cos(q1)*cos(q2)
        - 0.18701375192643893152562200040437*cos(q1) +
        0.32604852653322890193549710976972*sin(q1)*sin(q2)

```

```

+ 0.81915204428899178968448838591684*(q3 +
0.4357)*(0.33317915266278373753003874609319*cos(q2
) + 0.52398814803932854993517923405158*cos(q1)*cos
(q2) - 0.91354545764260089550212757198532*sin(q1)*
sin(q2)) + 0.058302001271399294442300358421917;
0.083263886904825127836070372288138*cos(q1) -
0.2670833170471080361471662315981*cos(q2) +
0.083263886904825127836070372288138*cos(q1)*cos(q2
) - 0.1451661568151748744418378816728*sin(q1)*sin(
q2) + 0.81915204428899178968448838591684*(q3 +
0.4357)*(0.74833262917885908178906841810814*cos(q2
) - 0.23329455426880487170743648171*cos(q1)*cos(q2
) + 0.4067366430758002077539859903415*sin(q1)*sin(
q2)) - 0.57357643635104609610803191282616*
(0.33317915266278373753003874609319*cos(q1) +
0.52398814803932854993517923405158)*(q3 + 0.4357)
+ 0.13094843884777317402311075151591];
3 end

```

Code pour Simulink pour calculer la Jacobienne :

```

1 function J = Jacobienne(q1,q2,q3,q4)
2 J = [0.35690454569671372276553158974397*sin(q1)*sin(
q2) - 0.20471203743821014146618770606519*cos(q1)*
cos(q2) - 0.20471203743821014146618770606519*cos(
q1) + 0.46984631039295419202705463866237*cos(q1)*(
q3 + 0.4357) +
0.81915204428899178968448838591684*(q3 + 0.4357)
*(0.57357643635104609610803191282616*cos(q1)*cos(
q2) - sin(q1)*sin(q2)),
0.20471203743821014146618770606519*sin(q1)*sin(q2)
- 0.35690454569671372276553158974397*cos(q1)*cos(
q2) + 0.81915204428899178968448838591684*(q3 +
0.4357)*(cos(q1)*cos(q2) -
0.57357643635104609610803191282616*sin(q1)*sin(q2)
), 0.46984631039295419202705463866237*sin(q1) +
0.81915204428899178968448838591684*cos(q1)*sin(q2)
+ 0.46984631039295419202705463866237*cos(q2)*sin(
q1), 0; 0.18701375192643893152562200040437*sin(q1)
+ 0.32604852653322890193549710976972*cos(q1)*sin(
q2) + 0.18701375192643893152562200040437*cos(q2)*
sin(q1) - 0.42922596264961884674230433877524*sin(
q1)*(q3 + 0.4357) -

```

```

0.81915204428899178968448838591684*(q3 + 0.4357)
*(0.91354545764260089550212757198532*cos(q1)*sin(
q2) + 0.52398814803932854993517923405158*cos(q2)*
sin(q1)), 0.11891315411672685607611133756987*sin(
q2) + 0.18701375192643893152562200040437*cos(q1)*
sin(q2) + 0.32604852653322890193549710976972*cos(
q2)*sin(q1) - 0.81915204428899178968448838591684*(
q3 + 0.4357)*(0.33317915266278373753003874609319*
sin(q2) + 0.52398814803932854993517923405158*cos(
q1)*sin(q2) + 0.91354545764260089550212757198532*
cos(q2)*sin(q1)),
0.42922596264961884674230433877524*cos(q1) +
0.27292438401819338094126999671763*cos(q2) +
0.42922596264961884674230433877524*cos(q1)*cos(q2)
- 0.74833262917885908178906841810814*sin(q1)*sin(
q2) - 0.13381225905760682681271599362386, 0;
0.81915204428899178968448838591684*(q3 + 0.4357)
*(0.4067366430758002077539859903415*cos(q1)*sin(q2)
) + 0.23329455426880487170743648171*cos(q2)*sin(q1)
)) - 0.083263886904825127836070372288138*sin(q1) -
0.1451661568151748744418378816728*cos(q1)*sin(q2)
- 0.083263886904825127836070372288138*cos(q2)*sin(
q1) + 0.19110371105078064685809128365421*sin(q1)
*(q3 + 0.4357), 0.2670833170471080361471662315981*
sin(q2) - 0.083263886904825127836070372288138*cos(
q1)*sin(q2) - 0.1451661568151748744418378816728*
cos(q2)*sin(q1) +
0.81915204428899178968448838591684*(q3 + 0.4357)
*(0.23329455426880487170743648171*cos(q1)*sin(q2)
- 0.74833262917885908178906841810814*sin(q2) +
0.4067366430758002077539859903415*cos(q2)*sin(q1))
, 0.61299820300001844422117565204979*cos(q2) -
0.19110371105078064685809128365421*cos(q1) -
0.19110371105078064685809128365421*cos(q1)*cos(q2)
+ 0.33317915266278373753003874609319*sin(q1)*sin(
q2) - 0.30054725464258245128095191993552, 0; 0,
0.81915204428899178968448838591684*sin(q1), 0,
0.46984631039295419202705463866237*sin(q1) +
0.81915204428899178968448838591684*cos(q1)*sin(q2)
+ 0.46984631039295419202705463866237*cos(q2)*sin(
q1); -0.4067366430758002077539859903415,
0.74833262917885908178906841810814*cos(q1) -

```

```

0.23329455426880487170743648171, 0,
0.42922596264961884674230433877524*cos(q1) +
0.27292438401819338094126999671763*cos(q2) +
0.42922596264961884674230433877524*cos(q1)*cos(q2)
- 0.74833262917885908178906841810814*sin(q1)*sin(
q2) - 0.13381225905760682681271599362386;
-0.91354545764260089550212757198532, -
0.33317915266278373753003874609319*cos(q1) -
0.52398814803932854993517923405158, 0,
0.61299820300001844422117565204979*cos(q2) -
0.19110371105078064685809128365421*cos(q1) -
0.19110371105078064685809128365421*cos(q1)*cos(q2)
+ 0.33317915266278373753003874609319*sin(q1)*sin(
q2) - 0.30054725464258245128095191993552];
3 end

```

Code pour Simulink pour calculer α et k et x :

```

1 function [alpha, k,x] = compute_alpha_k(V,On,E,C)
2 % E est une matrice de n*2 éléments : chaque ligne
   contient 2 éléments,
3 % le début d'une frontière et sa fin dans l'espace des
   positions, avec n
4 % matières possibles à traverser
5 % C est un vecteur de dimension 2 x n qui contient les
   alpha et les k pour
6 % chacun des n matériaux
7 multiplier = 1000;
8     if On > E(1,2) && On < E(1,1)
9         alpha = C(1,1)/multiplier;
10        k = C(1,2)*multiplier;
11        begin = E(1,1);
12    elseif On <= E(2,1) && On > E(2,2)
13        alpha = C(2,1)/multiplier;
14        k = C(2,2)*multiplier;
15        begin = E(2,1);
16    elseif On <= E(3,1) && On > E(3,2)
17        alpha = C(3,1)/multiplier;
18        k = C(3,2)*multiplier;
19        begin = E(3,1);
20    elseif On <= E(4,1) && On > E(4,2)
21        alpha = C(4,1)/multiplier;
22        k = C(4,2)*multiplier;

```

```

23     begin = E(4,1);
24     else
25         alpha = C(5,1)/multiplier;
26         k = C(5,2)*multiplier;
27         begin = E(4,2);
28     end
29     x = 0n-begin;
30     if V >= 0
31         k = 0;
32     end
33 end

```

Code pour Simulink pour calculer la Jacobienne d'un impact avec l'effecteur du robot :

```

1 function J = Jacobienne_modifiee(q1,q2,q3,q4, yop)
2     J = [0.35690454569671372276553158974397*sin(q1)*sin(
        q2) - 0.20471203743821014146618770606519*cos(q1)*
        cos(q2) - 0.20471203743821014146618770606519*cos(
        q1) + 0.46984631039295419202705463866237*cos(q1)*(
        q3 + 0.4357-yop) +
        0.81915204428899178968448838591684*(q3 + 0.4357-
        yop)*(0.57357643635104609610803191282616*cos(q1)*
        cos(q2) - sin(q1)*sin(q2)),
        0.20471203743821014146618770606519*sin(q1)*sin(q2)
        - 0.35690454569671372276553158974397*cos(q1)*cos(
        q2) + 0.81915204428899178968448838591684*(q3 +
        0.4357-yop)*(cos(q1)*cos(q2) -
        0.57357643635104609610803191282616*sin(q1)*sin(q2)
        ), 0.46984631039295419202705463866237*sin(q1) +
        0.81915204428899178968448838591684*cos(q1)*sin(q2)
        + 0.46984631039295419202705463866237*cos(q2)*sin(
        q1), 0; 0.18701375192643893152562200040437*sin(q1)
        + 0.32604852653322890193549710976972*cos(q1)*sin(
        q2) + 0.18701375192643893152562200040437*cos(q2)*
        sin(q1) - 0.42922596264961884674230433877524*sin(
        q1)*(q3 + 0.4357-yop) -
        0.81915204428899178968448838591684*(q3 + 0.4357-
        yop)*(0.91354545764260089550212757198532*cos(q1)*
        sin(q2) + 0.52398814803932854993517923405158*cos(
        q2)*sin(q1)), 0.11891315411672685607611133756987*
        sin(q2) + 0.18701375192643893152562200040437*cos(
        q1)*sin(q2) + 0.32604852653322890193549710976972*

```

```

cos(q2)*sin(q1) -
0.81915204428899178968448838591684*(q3 + 0.4357 -
yop)*(0.33317915266278373753003874609319*sin(q2) +
0.52398814803932854993517923405158*cos(q1)*sin(q2
) + 0.91354545764260089550212757198532*cos(q2)*sin
(q1)), 0.42922596264961884674230433877524*cos(q1)
+ 0.27292438401819338094126999671763*cos(q2) +
0.42922596264961884674230433877524*cos(q1)*cos(q2)
- 0.74833262917885908178906841810814*sin(q1)*sin(
q2) - 0.13381225905760682681271599362386, 0;
0.81915204428899178968448838591684*(q3 + 0.4357 -
yop)*(0.4067366430758002077539859903415*cos(q1)*
sin(q2) + 0.23329455426880487170743648171*cos(q2)*
sin(q1)) - 0.083263886904825127836070372288138*sin
(q1) - 0.1451661568151748744418378816728*cos(q1)*
sin(q2) - 0.083263886904825127836070372288138*cos(
q2)*sin(q1) + 0.19110371105078064685809128365421*
sin(q1)*(q3 + 0.4357 - yop),
0.2670833170471080361471662315981*sin(q2) -
0.083263886904825127836070372288138*cos(q1)*sin(q2
) - 0.1451661568151748744418378816728*cos(q2)*sin(
q1) + 0.81915204428899178968448838591684*(q3 +
0.4357 - yop)*(0.23329455426880487170743648171*cos(
q1)*sin(q2) - 0.74833262917885908178906841810814*
sin(q2) + 0.4067366430758002077539859903415*cos(q2
)*sin(q1)), 0.61299820300001844422117565204979*cos
(q2) - 0.19110371105078064685809128365421*cos(q1)
- 0.19110371105078064685809128365421*cos(q1)*cos(
q2) + 0.33317915266278373753003874609319*sin(q1)*
sin(q2) - 0.30054725464258245128095191993552, 0;
0, 0.81915204428899178968448838591684*sin(q1), 0,
0.46984631039295419202705463866237*sin(q1) +
0.81915204428899178968448838591684*cos(q1)*sin(q2)
+ 0.46984631039295419202705463866237*cos(q2)*sin(
q1); -0.4067366430758002077539859903415,
0.74833262917885908178906841810814*cos(q1) -
0.23329455426880487170743648171, 0,
0.42922596264961884674230433877524*cos(q1) +
0.27292438401819338094126999671763*cos(q2) +
0.42922596264961884674230433877524*cos(q1)*cos(q2)
- 0.74833262917885908178906841810814*sin(q1)*sin(
q2) - 0.13381225905760682681271599362386;

```

```

-0.91354545764260089550212757198532, -
0.33317915266278373753003874609319*cos(q1) -
0.52398814803932854993517923405158, 0,
0.61299820300001844422117565204979*cos(q2) -
0.19110371105078064685809128365421*cos(q1) -
0.19110371105078064685809128365421*cos(q1)*cos(q2)
+ 0.33317915266278373753003874609319*sin(q1)*sin(
q2) - 0.30054725464258245128095191993552];
3 end

```

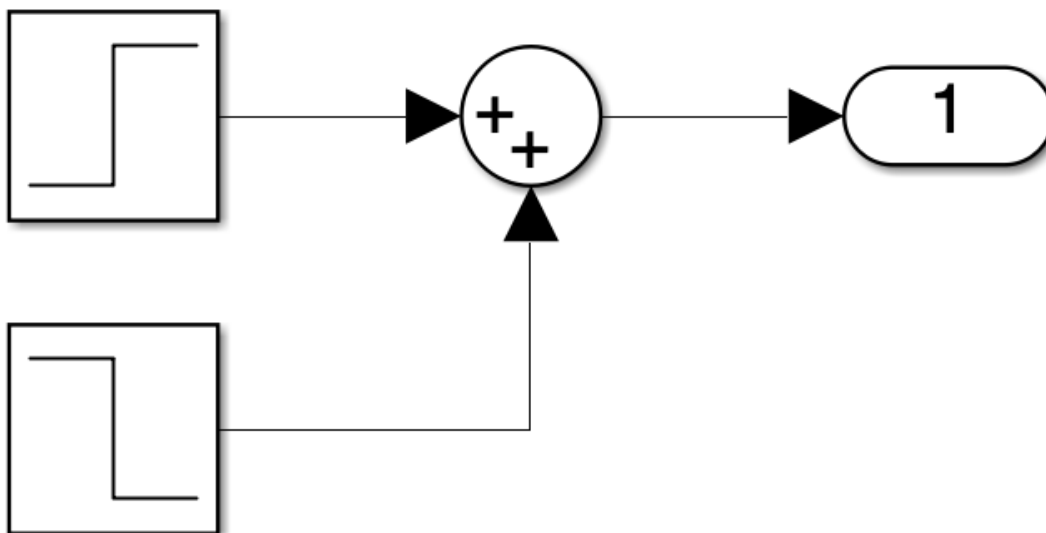


FIGURE 12 – Sch ma bloc d’obtention des efforts ext rieurs en cart sien : deux blocs step qui forment un cr neau impulsion